

## บทที่ 4

### การออกแบบระบบการอบแห้งหมากแวน

การอบหมากแวนเป็นระบบต่อเนื่องจากระบบที่มีการหันหมาก ซึ่งได้ก่อร่างกายละเอียดไว้ในบทที่ 3 เป็นเพาะว่ารายละเอียดในส่วนของการอบแห้งหมากมีมาก ดังนั้นในรายงานผลการวิจัยที่งข้อแยกมาเป็นบทที่ 4 ซึ่งในบทนี้จะมีการกล่าวถึงการวิเคราะห์กระบวนการอบแห้งที่เหมาะสมสำหรับการออกแบบเครื่องจักรในครั้งนี้ และส่วนของการออกแบบเริ่มต้นของระบบอบแห้งหมากแวน ในการทำวิจัยในครั้งนี้ได้ดำเนินการเฉพาะการออกแบบเท่านั้น ไม่ได้มีการสร้างระบบอบแห้งหมากแวนด้วยแบบ เนื่องจากค่าใช้จ่ายที่เกิดขึ้นสูงกว่างบประมาณที่ได้มีการประมาณการไว้ค่อนข้างมาก

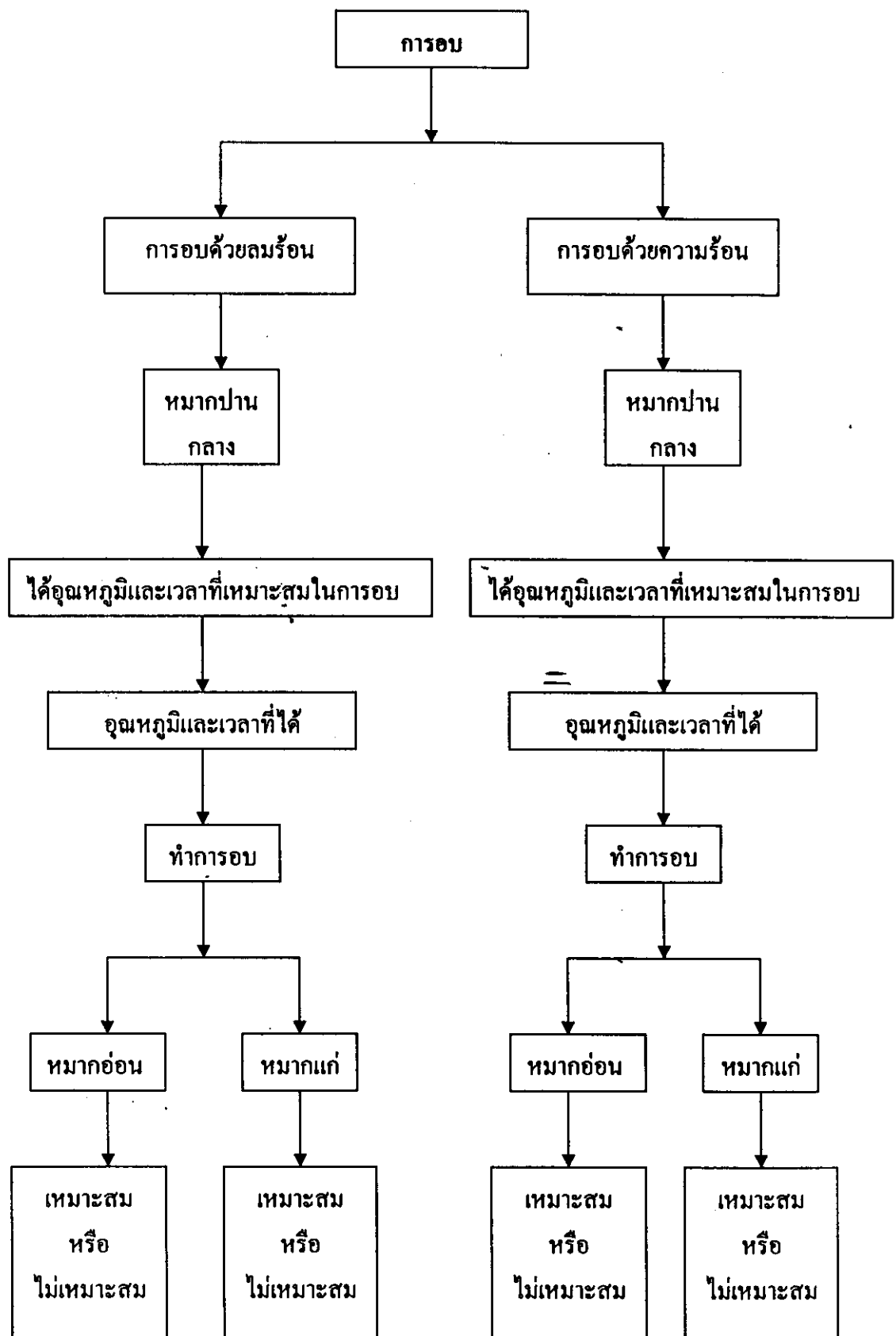
#### 4.1 การวิเคราะห์ผลด้านกระบวนการอบแห้งหมาก

จากการศึกษากระบวนการตากแห้งด้วยวิธีการดึงดิบ คือ ตากแดดเพียงอย่างเดียวใช้เวลาประมาณ 3-4 วัน หรือการนำเอาหมากไปอบด้วยเตา (ดังแสดงในรูปที่ 2.13 และ 2.14) วัตถุประสงค์ของกระบวนการตากแดด หรือตากให้แห้ง คือ เพื่อเพิ่มน้ำสุกค่าให้กับเนื้อหมากและการเก็บรักษาได้ยาวนานมากขึ้น ดังนั้นในการทำวิจัยครั้งนี้ คือ การศึกษาถึงปัจจัยที่เหมาะสมในการอบแห้งหมากแวนที่ได้จากบทที่ 3 ให้ได้ผลิตภัณฑ์ตามที่ตลาดต้องการ โดยปัจจัยที่ต้องมีการศึกษาคือ

1. ความชื้นของหมากทั้งหมากสด ซึ่งเป็นวัตถุคุณที่จะเข้ากระบวนการอบ และความชื้นของหมากแห้ง ซึ่งเป็นผลิตภัณฑ์ที่ได้จากการอบ ใน การศึกษาปัจจัยร่องความชื้น เพื่อเป็นการศึกษาว่า ปริมาณความชื้นที่ต้องนำออกจากเนื้อหมากเป็นเท่าไร

2. กระบวนการอบที่เหมาะสม ดังแสดงกระบวนการอบที่เป็นไปได้ ดังรูปที่ 4.1 คือ การอบโดยใช้ลมร้อน และการอบโดยใช้ชีตเตอร์ธรรมชาติ โดยหมายที่ทำการอบมีทั้งหมด 3 แบบ คือ หมากอ่อน หมากปานกลาง และหมากแก่ แต่จะเริ่มศึกษาจากหมากปานกลางก่อน เพราะเป็นหมากที่ใช้ในการกระบวนการอบของการทำวิจัย จากนั้นจึงนำอุณหภูมิและเวลาที่เหมาะสมที่ได้ไปอบหมากอ่อนและหมากแก่ เพื่อเป็นการศึกษาว่าอุณหภูมิและเวลาที่ได้สามารถอบหมากอ่อนและหมากแก่ได้หรือไม่ และทำการเปรียบเทียบระหว่างกระบวนการอบทั้ง 2 วิธี ว่าแบบใดมีความเหมาะสมในการอบแห้งหมากมากที่สุด จากแนวคิดดังกล่าวจึงได้มีการออกแบบการทดลอง เพื่อหาว่าการอบด้วยวิธีใดที่มีประสิทธิภาพในการอบมากกว่า และเหมาะสมในการอบแห้งหมาก

ในการทดลองเกี่ยวกับการอบ การออกแบบการทดลองที่ 1 (รายละเอียดการทดลองในภาคผนวก ค.) เป็นการศึกษาหาค่าความชื้นของหมากสดและหมากแห้ง เพื่อเป็นข้อมูลเบื้องต้นในการออกแบบระบบกระบวนการอบแห้ง ผลการทดลองพบว่าเนื้อหมากมีค่าความชื้นประมาณ  $68.34\text{ M}_w$



รูปที่ 4.1 ผังการทดลองหาอุณหภูมิที่เหมาะสมในการอนแห้งหาก

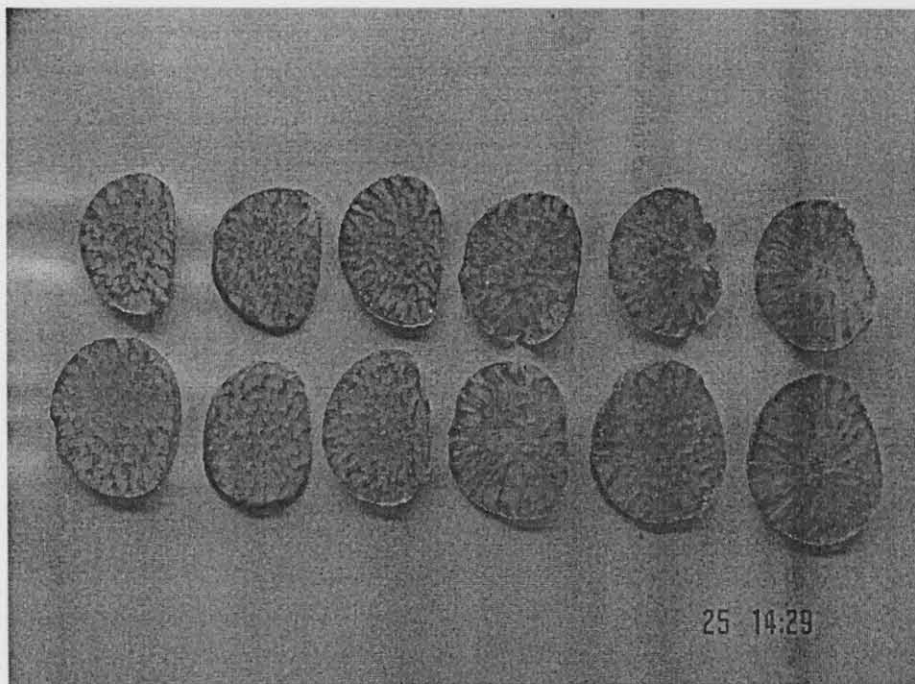
หรือ 68.34% ฐานเปรียก จากค่า % ความชื้นดังกล่าวก็ได้มีการนำไปคำนวณค่า  $C_p$  ซึ่งจะได้ค่าเท่ากับ  $1.692 \text{ kJ/kg}^{\circ}\text{C}$  ซึ่งทางทีมวิจัยจะได้มีการนำค่านี้ไปใช้ในการคำนวณ และออกแบบระบบอบแห้งมาก

จากนั้นได้มีการออกแบบการทดลอง เพื่อหาปัจจัยที่เหมาะสมในการอบมากแห้ง โดยปัจจัยที่ศึกษามีดังนี้

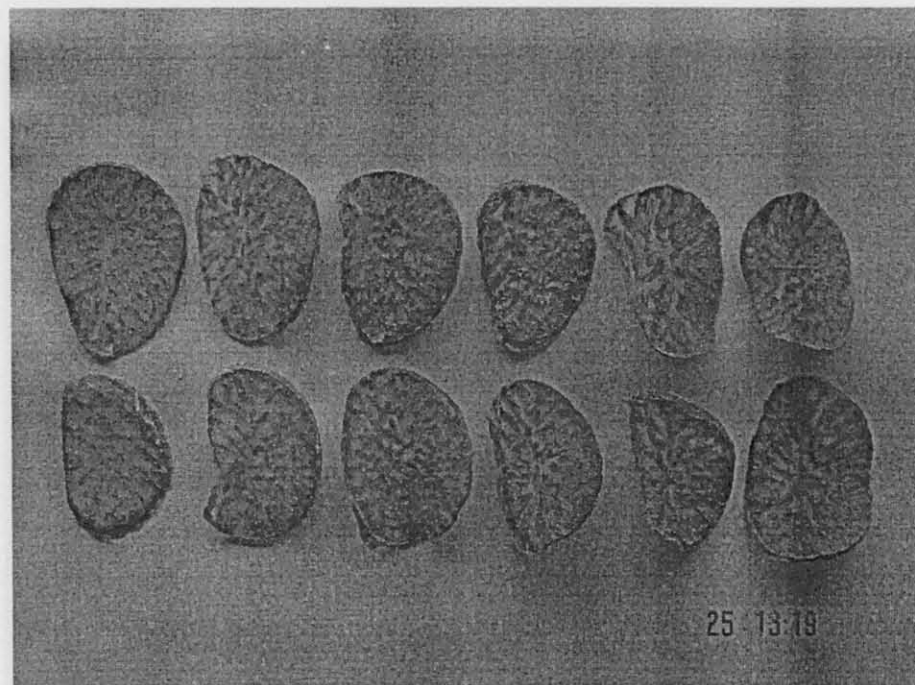
1. การอบแห้งมากด้วยลมร้อนช่วยในการอบ ตามการทดลองที่ 2 (รายละเอียดในภาคผนวก ค.) การทดลองจะมีการศึกษาถึงอุณหภูมิ และเวลาที่เหมาะสมในการอบแห้งมาก ดังนี้ในการทดลองมีการเริ่มทดลองที่อุณหภูมิ  $65^{\circ}\text{C}$  มีการสังเกตผลทุก 10 นาที เป็นเวลา 1 ชั่วโมง จากนั้นจะเปลี่ยนอุณหภูมิเป็น  $100\ 150\ 200$  และ  $250^{\circ}\text{C}$
2. การอบแห้งมากด้วยความร้อนเพียงอย่างเดียว (การทดลองที่ 2) มีการศึกษาที่อุณหภูมิ  $65\ 100\ 150$  และ  $200^{\circ}\text{C}$

จากการทดลองที่ 7 พบว่าลักษณะหากที่ผ่านการอบด้วยลมร้อน ณ อุณหภูมิ  $65^{\circ}\text{C}$  แสดงผลได้ดังรูปที่ 4.2 ความชื้นของหากที่ผ่านการอบด้วยลมร้อนสูงกว่า 44% ณ อุณหภูมิ  $100^{\circ}\text{C}$  แสดงผลได้ดังรูปที่ 4.3 ความชื้นของหากสูงกว่า 6% ณ อุณหภูมิ  $150^{\circ}\text{C}$  เวลาประมาณ 30 นาที แสดงผลได้ดังรูปที่ 4.4 ความชื้นของหากน้อยกว่า 6% ณ เนื้อหากสีขาวใหม่ และอุณหภูมิ  $200^{\circ}\text{C}$  แสดงผลได้ดังรูปที่ 4.5 ความชื้นของหากน้อยกว่า 6% เนื้อหากสีดำใหม่เช่นกัน ส่วนผลการทดลองการอบหากด้วยความร้อนเพียงอย่างเดียว ที่อุณหภูมิ  $100^{\circ}\text{C}$  แสดงผลได้ดังรูปที่ 4.6 ความชื้นของหากสูงกว่า 6% ที่อุณหภูมิ  $150^{\circ}\text{C}$  แสดงผลได้ดังรูปที่ 4.7 ความชื้นของหากน้อยกว่า 6% และที่อุณหภูมิ  $200^{\circ}\text{C}$  แสดงผลได้ดังรูปที่ 4.8 ความชื้นของหากน้อยกว่า 6%

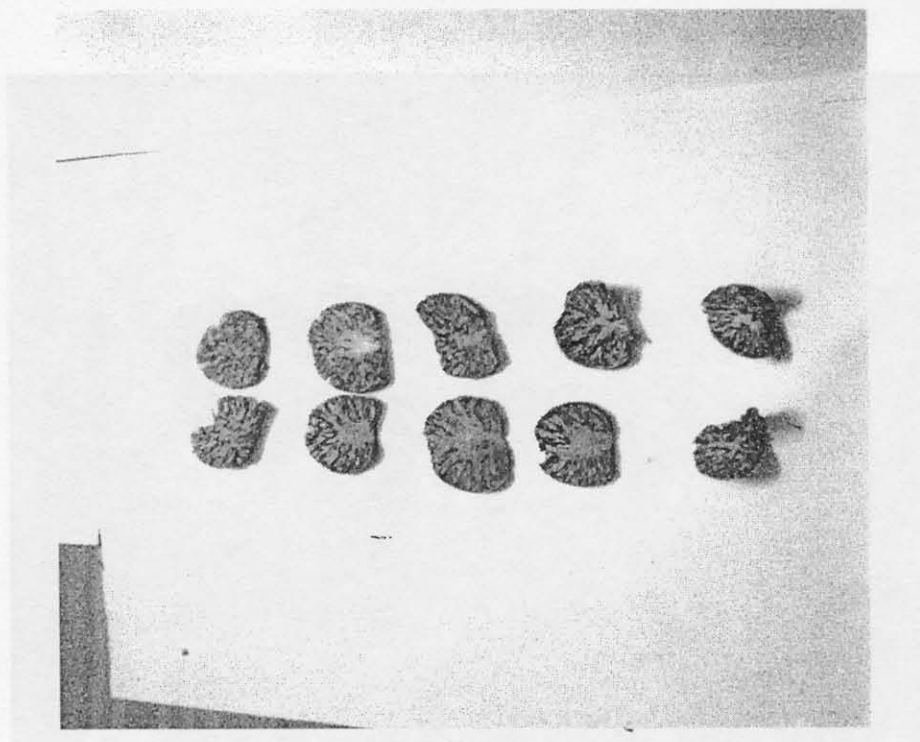
จากการทดลองทำให้เราทราบว่าอุณหภูมิที่เหมาะสมในการอบแห้งหากด้วยลมร้อน อยู่ระหว่างอุณหภูมิ  $100\text{-}150^{\circ}\text{C}$  แต่ระยะเวลาในการอบขึ้นไม่สามารถระบุได้ ต้องทำการทดลองอีกครั้งเพื่อหาเวลาและอุณหภูมิที่เหมาะสมในการอบแห้งหาก จากช่วงอุณหภูมิดังกล่าวผู้วิจัยจึงได้ออกแบบการทดลองที่ 3 เพื่อศึกษาพฤติกรรมของหากที่ได้รับหากมีการเปลี่ยนแปลงอุณหภูมิการอบแห้ง ณ ช่วงเวลาต่าง ๆ ดังการทดลองที่ 3



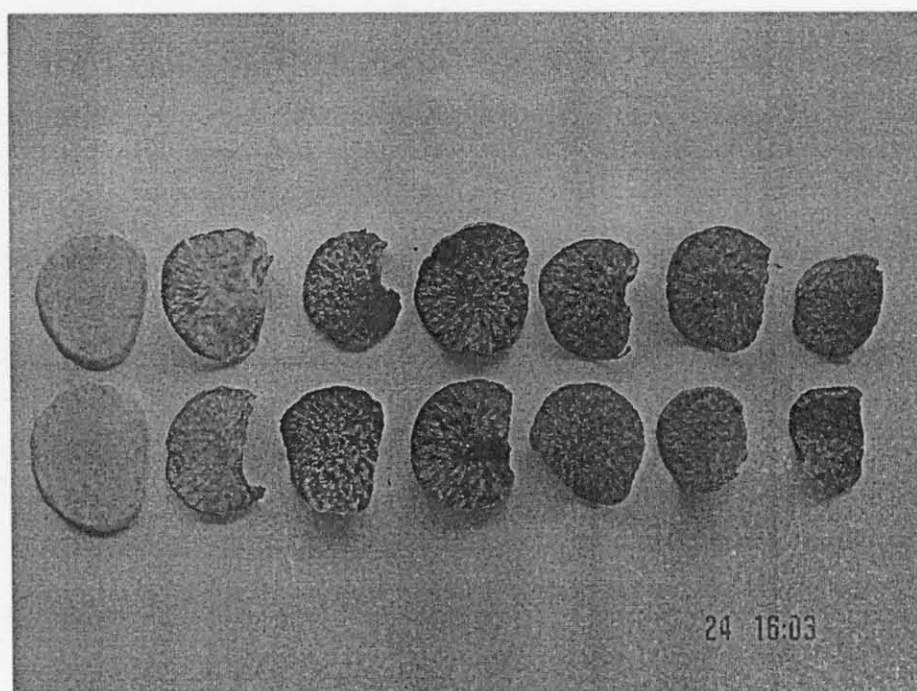
รูปที่ 4.2 การเปรียบเทียบมากองแห้งด้วยลมร้อนที่อุณหภูมิ  $65^{\circ}\text{C}$  การทดลองครั้งที่ 2 ณ เวลา  
ต่างๆ (จากซ้าย 10,20, 30, 40, 50 และ 60 นาที ตามลำดับ )



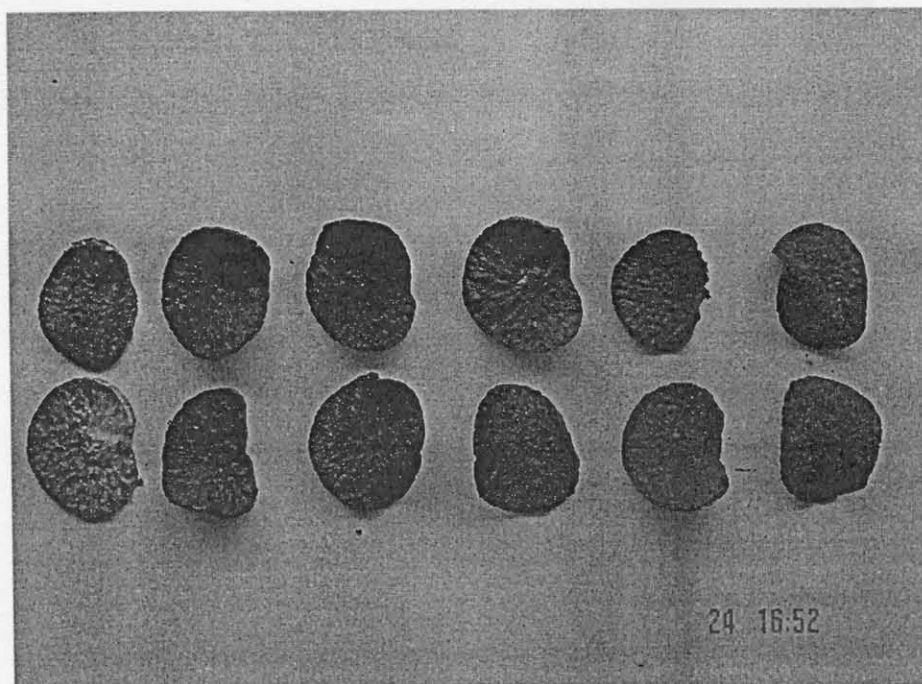
รูปที่ 4.3 การเปรียบเทียบมากองแห้งด้วยลมร้อนที่อุณหภูมิ  $100^{\circ}\text{C}$  การทดลองครั้งที่ 2 ณ เวลา  
ต่างๆ (จากซ้าย 10,20, 30, 40, 50 และ 60 นาที ตามลำดับ )



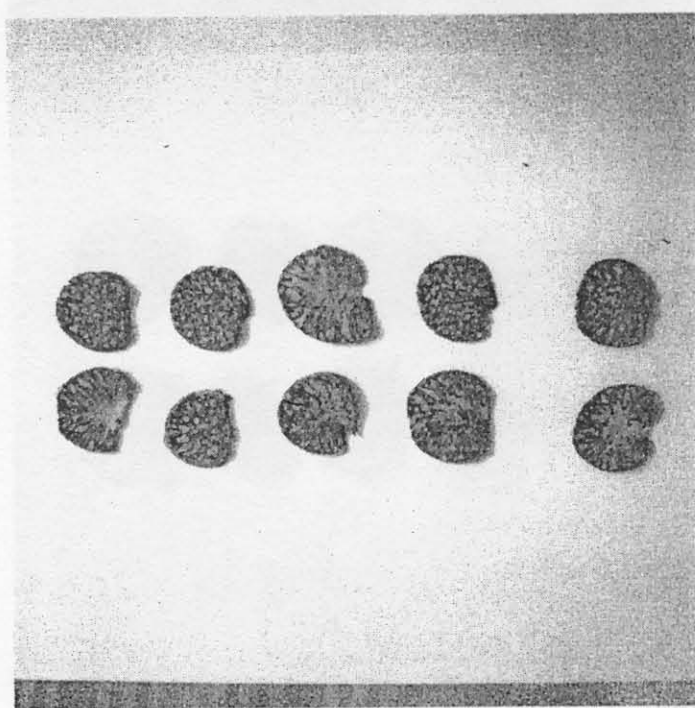
รูปที่ 4.4 การเปรียบเทียบขนาดของแท่งด้วยลมร้อนที่อุณหภูมิ  $150^{\circ}\text{C}$  การทดลองครั้งที่ 2 ณ เวลา  
ต่างๆ (จากซ้าย 20, 30, 40, 50 และ 60 นาที ตามลำดับ)



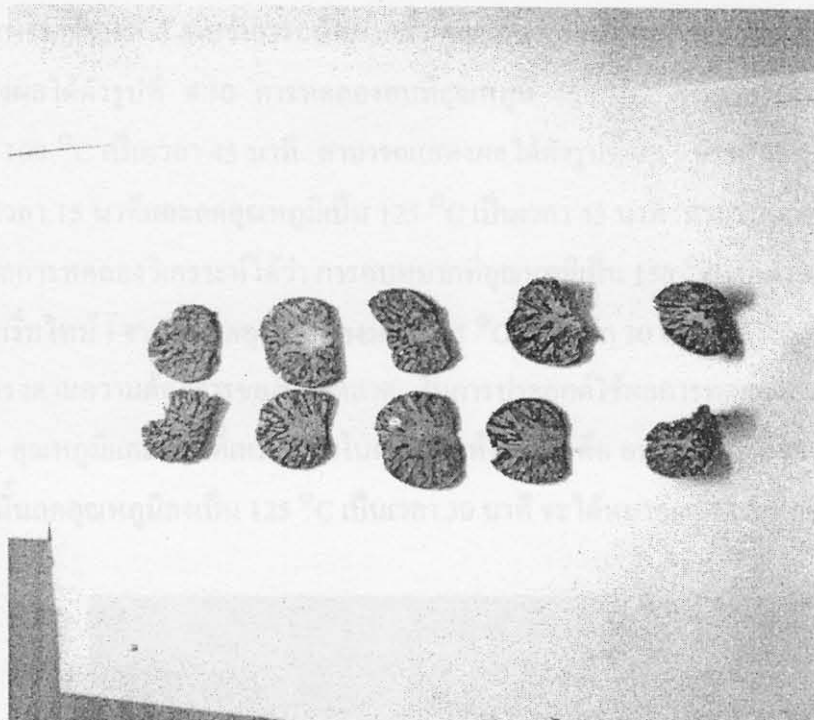
รูปที่ 4.5 การเปรียบเทียบขนาดของแท่งด้วยลมร้อนที่อุณหภูมิ  $200^{\circ}\text{C}$  การทดลองครั้งที่ 1 ณ เวลา  
ต่างๆ (จากซ้าย ขนาดธรรมชาติ 10, 20, 30, 40, 50 และ 60 นาที ตามลำดับ)



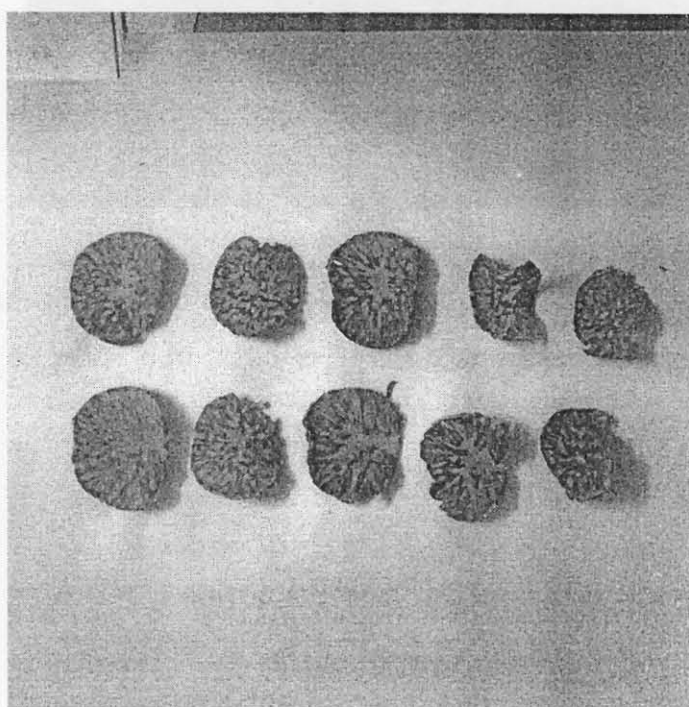
รูปที่ 4.6 การเปรียบเทียบมากอบแห้งด้วยลมร้อนที่อุณหภูมิ  $250^{\circ}\text{C}$  ณ เวลาต่างๆ  
(จากซ้าย 10, 20, 30, 40, 50 และ 60 นาที ตามลำดับ )



รูปที่ 4.7 การเปรียบเทียบมากอบแห้งที่อุณหภูมิ  $100^{\circ}\text{C}$  ณ เวลาต่างๆ  
(จากซ้าย 20, 30, 40, 50 และ 60 นาที ตามลำดับ )

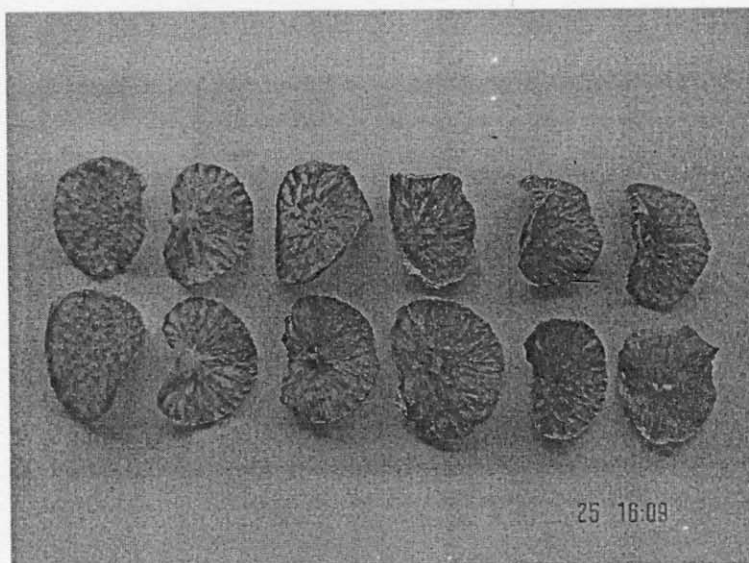


รูปที่ 4.8 การเปรียบเทียบหมายเลขหน้างัดด้วยความร้อนที่อุณหภูมิ  $150^{\circ}\text{C}$  ณ เวลาต่างๆ  
(จากซ้าย 20, 30, 40, 50 และ 60 นาที ตามลำดับ )

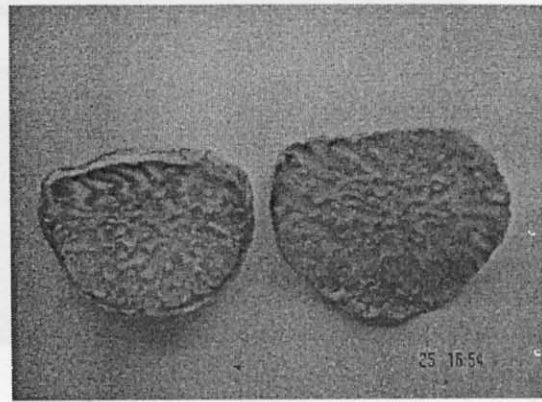
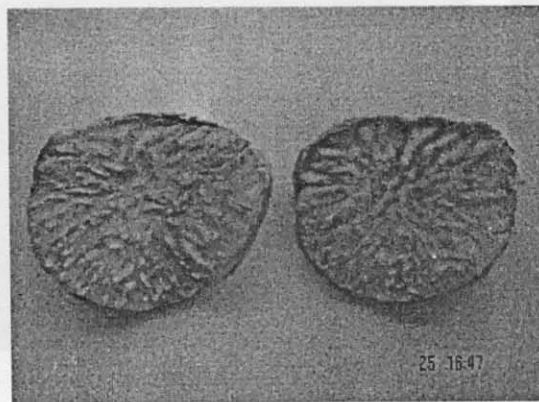


รูปที่ 4.9 การเปรียบเทียบหมายเลขหน้างัดด้วยความร้อนที่อุณหภูมิ  $200^{\circ}\text{C}$  ที่เวลาต่างๆ  
(จากซ้าย 20, 30, 40, 50 และ 60 นาที ตามลำดับ )

จากการทดลองที่ 3 พบว่าการอบมากด้วยลมร้อน ณ อุณหภูมิ  $125^{\circ}\text{C}$  ที่เวลาต่างๆ กันสามารถแสดงผลได้ดังรูปที่ 4.10 การทดลองอบที่อุณหภูมิ  $150^{\circ}\text{C}$  เป็นเวลา 15 นาทีและลดอุณหภูมิเป็น  $100^{\circ}\text{C}$  เป็นเวลา 45 นาที สามารถแสดงผลได้ดังรูปที่ 4.11 การทดลองอบที่อุณหภูมิ  $150^{\circ}\text{C}$  เป็นเวลา 15 นาทีและลดอุณหภูมิเป็น  $125^{\circ}\text{C}$  เป็นเวลา 45 นาที สามารถแสดงผลได้ดังรูปที่ 4.12 จากการทดลองวิเคราะห์ได้ว่า การอบมากที่อุณหภูมิเป็น  $150^{\circ}\text{C}$  เป็นเวลา 15 นาที ( 20 นาทีมากจะเริ่มไหม้ ) จากนั้นลดอุณหภูมิลงมาที่  $125^{\circ}\text{C}$  เป็นเวลา 30 นาที จะเห็นว่ามากที่ได้จะมีคุณสมบัติตรงตามความต้องการของห้องคลาด ในการประยุกต์ใช้ผลการทดลองกับการออกแบบระบบการอบ อุณหภูมิและเวลาที่เหมาะสมในการอบแห้งมาก คือ อบที่อุณหภูมิ  $150^{\circ}\text{C}$  เป็นเวลา 15 นาที จากนั้นลดอุณหภูมิลงเป็น  $125^{\circ}\text{C}$  เป็นเวลา 30 นาที จะได้มากแห้งตามที่ต้องการ

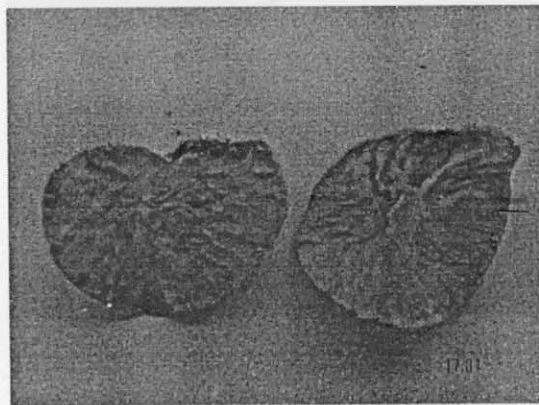


รูปที่ 4.10 แสดงการเปรียบเทียบมากอบแห้งที่อุณหภูมิ  $125^{\circ}\text{C}$  ครั้งที่ 1 ณ เวลาต่างๆ  
(จากช้าย 10, 20, 30, 40, 50 และ 60 นาที ตามลำดับ )



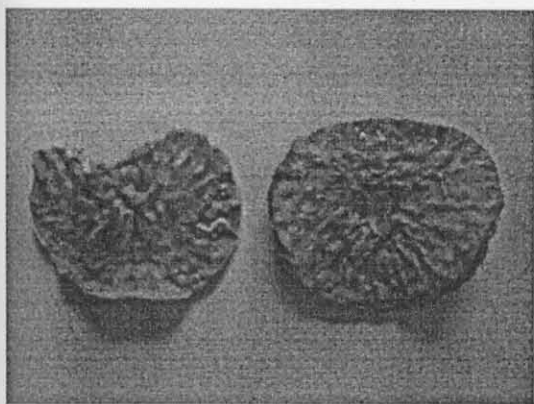
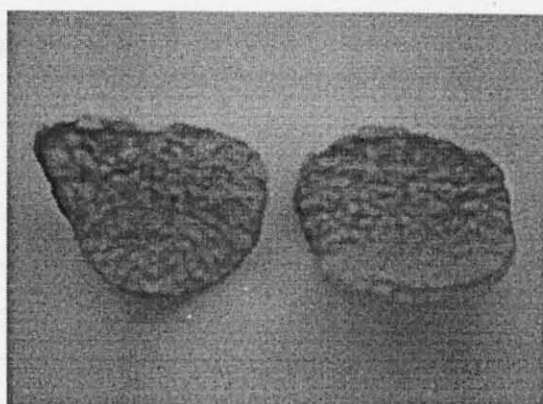
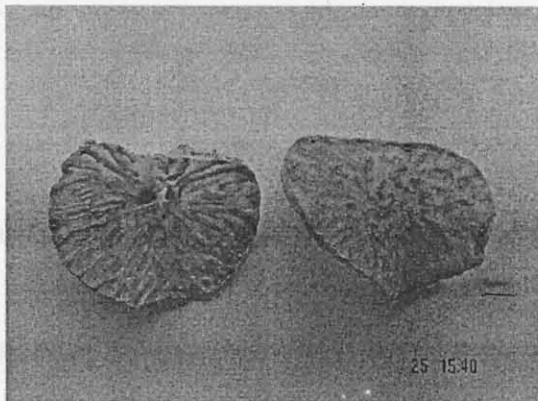
ที่อุณหภูมิ  $150^{\circ}\text{C}$  เวลา 15 นาที

ที่อุณหภูมิ  $100^{\circ}\text{C}$  เวลา 15 นาที



ที่อุณหภูมิ  $100^{\circ}\text{C}$  เวลา 30 นาที

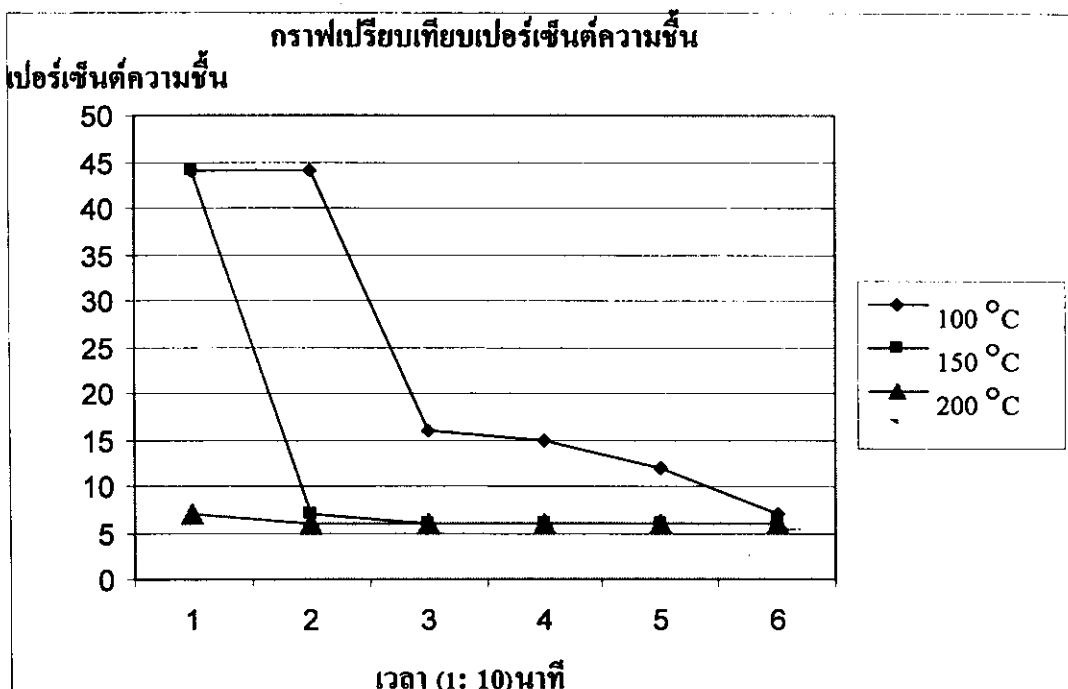
รูปที่ 4.11 เนื้อหามากที่ผ่านการบดแห้งที่อุณหภูมิต่างๆ และการเปรียบเทียบลักษณะเนื้อหามาก

ที่อุณหภูมิ  $150^{\circ}\text{C}$  เวลา 15 นาทีที่อุณหภูมิ  $125^{\circ}\text{C}$  เวลา 15 นาทีที่อุณหภูมิ  $125^{\circ}\text{C}$  เวลา 30 นาทีรูปที่ 4.12 เนื้อหากที่ผ่านการอบแห้งที่ลดอุณหภูมิจาก  $150^{\circ}\text{C}$  เป็น  $125^{\circ}\text{C}$  และเวลาต่างๆ

จากข้อมูลผลการทดลองการอบหมายในลักษณะต่างๆ สามารถนำข้อมูลมาเปรียบเทียบแสดงความสัมพันธ์ระหว่างเปอร์เซ็นต์ความชื้น อุณหภูมิ และเวลา โดยแบ่งการทดลองเป็น 2 ประเภท กือ การอบด้วยลมร้อน และการอบด้วยความร้อน ดังรายละเอียดต่อไปนี้

### 1. การอบด้วยลมร้อน แยกผลการทดลองได้ดังนี้

1.1 การเปรียบเทียบเปอร์เซ็นต์ความชื้นของการอบด้วยลมร้อนที่อุณหภูมิ  $100, 150, 200^{\circ}\text{C}$  ดังแสดงในรูปที่ 4.13 และตารางที่ 4.1



รูปที่ 4.13 กราฟเปรียบเทียบเปอร์เซ็นต์ความชื้นที่อุณหภูมิ 100, 150 และ 200 °C

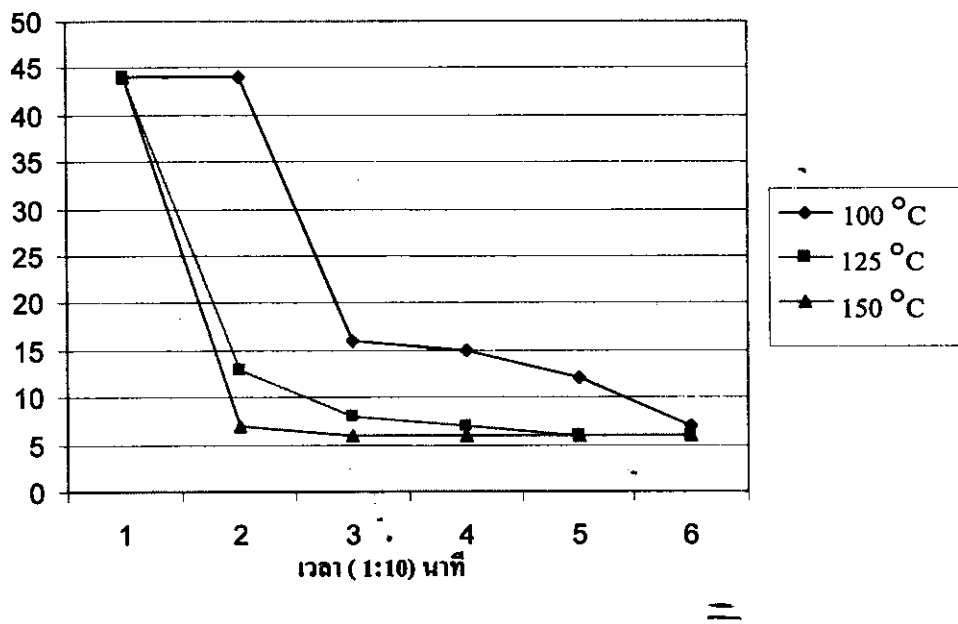
ตารางที่ 4.1 ตารางเปรียบเทียบเปอร์เซ็นต์ความชื้นที่อุณหภูมิ 100, 150 และ 200 °C

เวลา (นาที)	เปอร์เซ็นต์ความชื้น		
	อุณหภูมิ 100 °C	อุณหภูมิ 150 °C	อุณหภูมิ 200 °C
10	44 %	44%	7%
20	44%	7%	6%
30	16%	6%	6%
40	15%	6%	6%
50	12%	6%	6%
60	7%	6%	6%

จากตารางที่ 4.1 เป็นการเปรียบเทียบเปอร์เซ็นต์ความชื้นที่อุณหภูมิ 100, 150 และ 200 °C โดยการอบด้วยลมร้อน เมื่อนำมาเปอร์เซ็นต์ความชื้นที่อุณหภูมิต่างๆ ไปสร้างกราฟ ดังรูปที่ 4.13 พนว่าที่อุณหภูมิ 200 °C ที่เวลาต่างๆ เปอร์เซ็นต์ความชื้นจะลดลงมากกว่าที่อุณหภูมิ 100 และ 150 °C

2. การเปรียบเทียบเปอร์เซ็นต์ความชื้นของการอบด้วยลมร้อนที่อุณหภูมิ  $100^{\circ}\text{C}$ ,  $125^{\circ}\text{C}$ ,  $150^{\circ}\text{C}$  ดังแสดงในรูปที่ 4.14 และตารางที่ 4.2

### เปอร์เซ็นต์ความชื้น      กราฟเปรียบเทียบเปอร์เซ็นต์ความชื้น



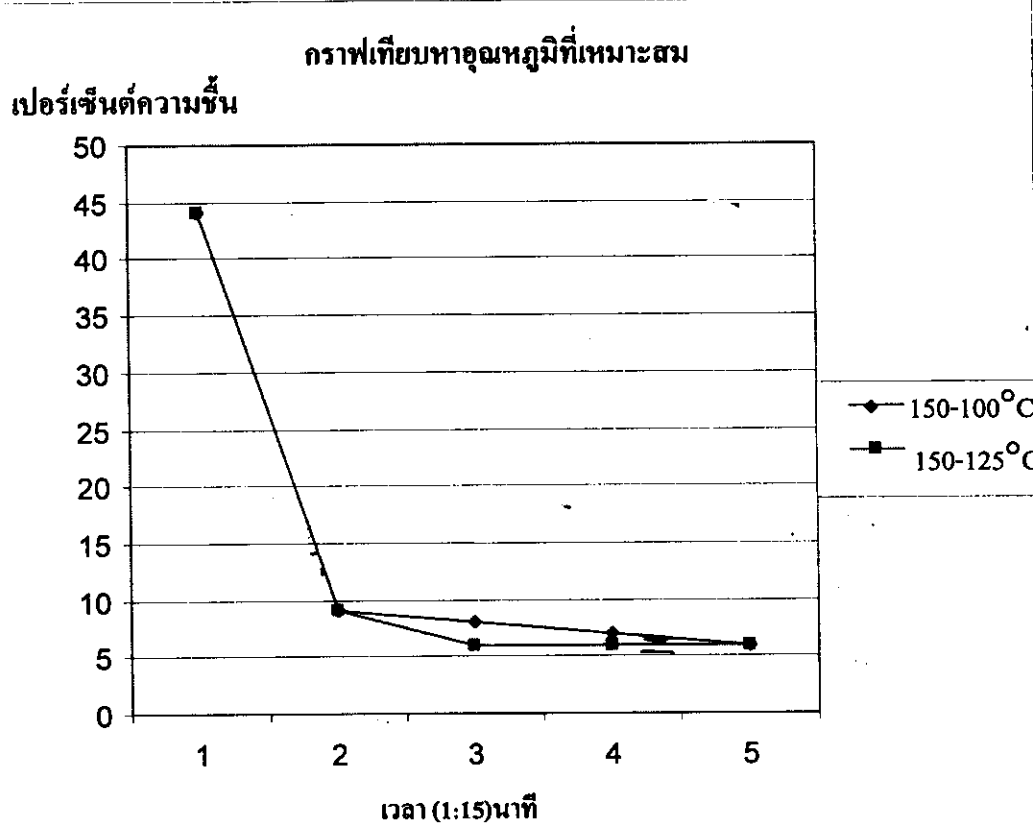
รูปที่ 4.14 กราฟเปรียบเทียบเปอร์เซ็นต์ความชื้นที่อุณหภูมิ  $100^{\circ}\text{C}$ ,  $125^{\circ}\text{C}$  และ  $150^{\circ}\text{C}$

ตารางที่ 4.2 ตารางเปรียบเทียบเปอร์เซ็นต์ความชื้นที่อุณหภูมิ  $100^{\circ}\text{C}$ ,  $125^{\circ}\text{C}$  และ  $150^{\circ}\text{C}$

เวลา (นาที)	เปอร์เซ็นต์ความชื้น		
	อุณหภูมิ $100^{\circ}\text{C}$	อุณหภูมิ $125^{\circ}\text{C}$	อุณหภูมิ $150^{\circ}\text{C}$
10	44%	44%	44%
20	44%	13%	7%
30	16%	8%	6%
40	15%	7%	6%
50	12%	6%	6%
60	7%	6%	6%

จากตารางที่ 4.2 เป็นการเปรียบเทียบเปอร์เซ็นต์ความชื้นที่อุณหภูมิ  $100^{\circ}\text{C}$ ,  $125^{\circ}\text{C}$  และ  $150^{\circ}\text{C}$  โดยการอบด้วยลมร้อน เมื่อนำมาเปอร์เซ็นต์ความชื้นที่อุณหภูมิต่างๆ ไปสร้างกราฟ ดังรูปที่ 4.14 พบว่าที่อุณหภูมิ  $125^{\circ}\text{C}$  และ  $150^{\circ}\text{C}$  ที่เวลาต่างๆ เป็นช่วงอุณหภูมิที่เหมาะสมในการอบแห้งมาก

3. การเปรียบเทียบเปอร์เซ็นต์ความชื้นของการอบด้วยลมร้อนที่อุณหภูมิ  $150-100^{\circ}\text{C}$  และ  $150-125^{\circ}\text{C}$  เพื่อหาอุณหภูมิที่เหมาะสม (เปอร์เซ็นต์ความชื้นน้อยกว่า 6 ) ดังแสดงในรูปที่ 4.36 และตารางที่ 4.18



รูปที่ 4.15 กราฟเปรียบเทียบเปอร์เซ็นต์ความชื้นที่อุณหภูมิระหว่าง  $150-100^{\circ}\text{C}$  และ  $150-125^{\circ}\text{C}$

ตารางที่ 4.3 ตารางเปรียบเทียบเปอร์เซ็นต์ความชื้นที่อุณหภูมิระหว่าง  $150-100^{\circ}\text{C}$  และ  $150-125^{\circ}\text{C}$

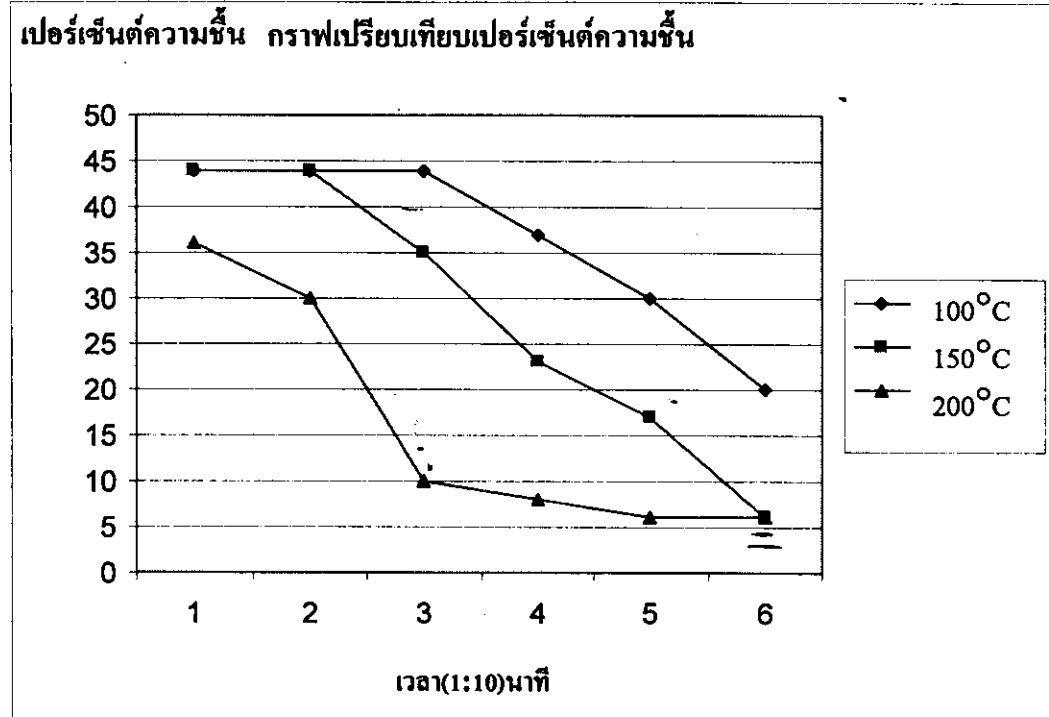
เวลา (นาที)	เปอร์เซ็นต์ความชื้น	
	อุณหภูมิ $150 - 100^{\circ}\text{C}$	อุณหภูมิ $150 - 125^{\circ}\text{C}$
0	44%	44%
15	9%	9%
30	8%	6%
45	7%	6%
60	6%	6%

จากตารางที่ 4.3 เป็นการเปรียบเทียบเปอร์เซ็นต์ความชื้นที่อุณหภูมิระหว่าง  $150-100^{\circ}\text{C}$  และ  $150-125^{\circ}\text{C}$  และนำไปสร้างกราฟได้ดังรูปที่ 4.15 เพื่อช่วงเวลาที่เหมาะสมในการอบด้วยลมร้อน

พบว่าการอบที่อุณหภูมิ  $150^{\circ}\text{C}$  เป็นเวลา 15 นาทีจากนั้นลดอุณหภูมิเป็น  $125^{\circ}\text{C}$  เป็นเวลา 45 นาที มีความเหมือนในการอบแห้งมาก

## 2. การอบด้วยความร้อน สามารถแยกแสดงผลการทดสอบได้ดังนี้

2.1 การเปรียบเทียบเปอร์เซ็นต์ความชื้นของการอบด้วยความร้อน(อีทเตอร์) ที่อุณหภูมิ  $100, 150, 200^{\circ}\text{C}$  ดังแสดงในรูปที่ 4.16 และตารางที่ 4.4



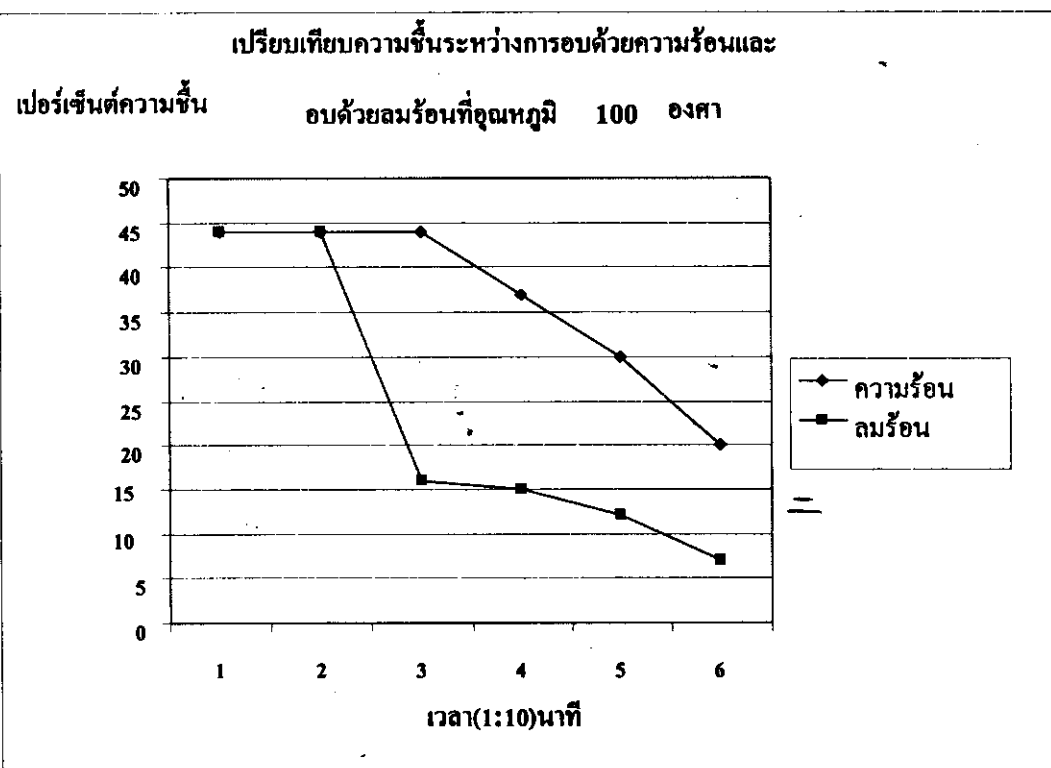
รูปที่ 4.16 กราฟเปรียบเทียบเปอร์เซ็นต์ความชื้นการอบด้วยความร้อนอุณหภูมิ  $100, 150$  และ  $200^{\circ}\text{C}$

ตารางที่ 4.4 ตารางเปรียบเทียบเปอร์เซ็นต์ความชื้นการอบด้วยความร้อนอุณหภูมิ  $100, 150$  และ  $200^{\circ}\text{C}$

เวลา (นาที)	เปอร์เซ็นต์ความชื้น		
	อุณหภูมิ $100^{\circ}\text{C}$	อุณหภูมิ $150^{\circ}\text{C}$	อุณหภูมิ $200^{\circ}\text{C}$
10	44%	44%	36%
20	44%	44%	30%
30	44%	35%	10%
40	37%	23%	8%
50	30%	17%	6%
60	20%	6%	6%

จากตารางที่ 4.4 เป็นการเปรียบเทียบเปอร์เซ็นต์ความชื้นที่อุณหภูมิ 100 , 150 และ 200 °C โดยการอบด้วยความร้อน(ธีทเดอร์) เมื่อนำไปร์เซ็นต์ความชื้นที่อุณหภูมิต่างๆ ไปสร้างกราฟคั่งรูปที่ 4.16 พนว่าที่อุณหภูมิ 200 °C ที่เวลาต่างๆ เปอร์เซ็นต์ความชื้นจะลดลงมากกว่าที่อุณหภูมิที่ 100 และ 150 °C

2.2 การเปรียบเทียบเปอร์เซ็นต์ความชื้นระหว่างการอบด้วยความร้อนและการอบด้วยลมร้อนที่อุณหภูมิ 100 °C ดังแสดงในรูปที่ 4.17 และตารางที่ 4.5



รูปที่ 4.17 การเปรียบเทียบเปอร์เซ็นต์ความชื้นระหว่างการอบด้วยความร้อน(ธีทเดอร์) และการอบด้วยลมร้อนที่อุณหภูมิ 100 °C

ตารางที่ 4.5 ตารางการเปรียบเทียบเปอร์เซ็นต์ความชื้นระหว่างการอบด้วยความร้อนและการอบด้วยลมร้อนที่อุณหภูมิ 100 °C

เวลา (นาที)	เปอร์เซ็นต์ความชื้นอบด้วยอุณหภูมิ 100 °C	
	อบแบบด้วยความร้อน	อบด้วยลมร้อน
10	44%	44%
20	44%	44%
30	44%	16%
40	37%	15%
50	30%	12%
60	20%	7%

จากตารางที่ 4.5 เป็นการเปรียบเทียบเปอร์เซ็นต์ความชื้นระหว่างการอบด้วยความร้อนและการอบด้วยลมร้อนที่อุณหภูมิ  $100^{\circ}\text{C}$  พนว่าการอบด้วยลมร้อนเปอร์เซ็นต์ความชื้นจะลดลงมากกว่าอบด้วยความร้อน(อีทเตอร์) ที่เวลาเดียวกัน ดังนั้น อบด้วยลมร้อนจึงมีความเหมาะสมในการอบแห้งมาก

จากการทดลองสร้างเครื่องปอกเปลือกถูกมากทำให้พบปัญหาในการสร้าง เพื่อระบบการทำงานมีความซับซ้อนและเวลาในการทำงานมาก ประสิทธิภาพในการทำงานค่อนข้างต่ำ และค่าใช้จ่ายในการสร้างระบบสูง จึงไม่สามารถสร้างเครื่องปอกเปลือกถูกมากที่สมบูรณ์ได้ ดังนั้นจึงได้มีการออกแบบการทดลองใหม่โดยการสร้างเครื่องหั่นมากทั้งเปลือก จึงมีการออกแบบการทดลองการอบ เพื่อศึกษาดูว่าการอบหมายก่ออบหั่นเป็นเว่น หรือหั่นก่อนการอบแห้งลักษณะใดจะเหมาะสมกว่า นอกจากนี้พบว่ากระบวนการการทำงานที่ดีคือตามมาดีของการแยกเนื้อหากกับเปลือกซึ่งในการดำเนินงานวิจัยได้มีการแยกโดยน้ำ จากคุณสมบัติของถูกมากที่ผ่านการทำหั่นเป็นเว่นแล้วนำไปแข็งน้ำ จะพบว่าเนื้อหากและเปลือกหมายจะแยกออกจากกันอย่างชัดเจน ดังนั้นจึงได้มีการออกแบบการทดลองอบแห้งมากที่ผ่านการทำแข็งน้ำ เพื่อศึกษาถึงผลลัพธ์ที่เกิดขึ้นเป็นการทดลองที่ 4 (แสดงรายละเอียดในภาคผนวก ค.) :

การทดลองที่ 4 เป็นการทดลองการอบแห้งมากทั้งผลพร้อมเปลือก อบหมายเว่นที่ผ่านการทำแข็งน้ำทั้งเปลือก และหมายเว่นที่ผ่านการทำแข็งน้ำ (จากการวนการคัดแยกเนื้อหากและเปลือกหมายออกจากกันด้วยน้ำ) จากผลการทดลอง พนว่าการอบแห้งมากเว่นที่ผ่านการทำหั่นเป็นเปลือก จะเป็นการสูญเสียพลังงานโดยเปล่าประโยชน์อย่างเป็นที่ทราบกันอยู่แล้ว แต่สิ่งหนึ่งที่ได้จากการทดลอง คือ ลักษณะของเปลือกที่ผ่านการทำอบด้วยความร้อนมีการเปลี่ยนรูปเป็นมีลักษณะบิดตัวมากขึ้น และรูปทรงของเปลือกที่บิดตัวก็ไม่แน่นอน ส่งผลให้การคัดแยกหมายแห้งออกจากเปลือกทำได้ยากขึ้น จากผลการทดลองดังกล่าวมีประโยชน์เป็นอย่างยิ่งในการออกแบบเครื่องจักร เนื่องจากผลลัพธ์จากการทดลองที่เกิดขึ้น ที่มีความสามารถสรุปได้ว่าควรจะต้องมีการออกแบบอุปกรณ์คัดแยกเปลือก และเนื้อหากเว่นออกจากกันก่อนการอบ เพราะถ้าให้มีการอบหมายเว่นพร้อมเปลือก ก็จะมีผลเสีย 2 ประดิ่นใหญ่ๆ คือ การสูญเสียพลังงาน และการคัดแยกทำได้ยากขึ้น

ในการดำเนินงานวิจัยจึงได้ดำเนินการวิเคราะห์การแยกเนื้อหากเว่นออกจากเปลือก พนว่าขั้นตอนการทำโดยการผ่านน้ำจะทำให้เนื้อหากแยกตัวออกจากเปลือกหมายชัดเจน ดังนั้นจึงได้มีการคิดไว้เบื้องต้นว่าควรจะมีการคัดแยกด้วยน้ำ (ยังไม่ได้ออกแบบหลักการทำงานอย่างละเอียด เนื่องจากงบประมาณ และเวลาไม่จำกัด จึงเป็นแนวคิดเพื่อที่จะทำในโครงการวิจัยต่อเนื่องต่อไป) จากเหตุผลดังกล่าวที่มีวิจัยจึงทำการทดลองต่อไปว่าถ้ามีการแยกด้วยน้ำ หมายที่ผ่านการทำแข็งน้ำจะมีผลกระทบต่อการอบหรือไม่ จึงมีการออกแบบการทดลอง การอบหมายเว่นที่ผ่านการทำแข็งน้ำดังรายละเอียดการทดลองที่ 5 (รายละเอียดในภาคผนวก ค.) จากการทดลองพบว่า หมายแห้งที่ได้หลังจากการอบจะมีลักษณะเหมือนกับหมายเว่นที่ไม่ผ่านการทำแข็งน้ำทุกประการ และที่สำคัญพบว่า

เวลาที่ใช้ในการอบน้อยกว่าการอบนานกว่าวันที่ไม่ผ่านการแช่น้ำ จากผลลัพธ์ดังกล่าวเป็นการสนับสนุนแนวความคิดว่าควรจะต้องมีการแยกเนื้อหมากแ่ว่นกับเปลือกออกจากกันก่อนการอบ ส่วนผลลัพธ์ที่การอบนานกว่าวันผ่านการแช่น้ำใช้เวลาน้อยกว่าหมากแ่ว่นที่ไม่ผ่านการแช่น้ำ ในขณะนี้นักวิจัยได้ตั้งสมมติฐานว่า น้ำอาจเป็นตัวละลายฟิล์มน้ำบางอย่างในเนื้อหมากทำให้น้ำในหมากสามารถระเหยออกได้อ่ายาวรวดเร็ว อย่างไรก็ตามจะได้มีการวิจัยเพื่อศึกษาค่าตอบอย่างละเอียดในงานวิจัยต่อเนื่องต่อไป

#### 4.2 การออกแบบระบบอบแห้งหมาก

ในการอบแห้งหมากแ่ว่นจำเป็นต้องมีการคำนวณปริมาณความร้อนต่างๆ ที่เกี่ยวข้อง และแบบเบื้องต้นของการระบบอบแห้ง ดังรายละเอียดดังต่อไปนี้

##### 4.2.1 การคำนวณการร่ายเทความร้อนระบบอบ

การคำนวณหาค่า Heat load (อบแห้งแบบไม่ต่อเนื่อง)

1. กำลังการผลิตระบบปอกเปลือก และระบบหั่นประมาณ 720 ถูก/ชั่ว. หรือ 10 kg/ชั่ว.
2. ความชื้นก่อนเข้าระบบ 68.34% และอุณหภูมิก่อนนำเข้าเตาเผา 25 °C
3. อบที่อุณหภูมิ 125 °C เป็นเวลา 60 นาที
4. ความชื้นหลังการอบแห้งประมาณ 6%
5. ค่า  $C_p$  ของน้ำเท่ากับ 4.310  $\frac{kJ}{kg \cdot k}$

ค่า  $C_p$  ของหมากเท่ากับ 1.692  $\frac{kJ}{kg \cdot k}$

การคำนวณปริมาณความร้อนสำหรับอบแห้งผลิตภัณฑ์

ปริมาณความร้อนส่วนใหญ่ของการอบแห้งมักจะมาจากการปริมาณความร้อนที่ต้องใช้ไปในการทำให้ผลิตภัณฑ์มีอุณหภูมิสูงขึ้น จากอุณหภูมนิรรยาศาสต์ไปยังอุณหภูมิที่ใช้สำหรับอบแห้งซึ่งได้หากำไรไว้แล้วในหัวข้อและการทดสอบข้างต้น โดยสมการสำหรับปริมาณความร้อนสำหรับอบแห้งผลิตภัณฑ์ได้ดังนี้

$$\begin{aligned} Q_{PRODUCT} &= m_{PRODUCT} \times C_p \times (T_{DRYING} - T_{AMB}) \\ &= 10 \times 1.692 \times (398.15 - 298.15) \\ &= 1692 \text{ kJ} \end{aligned}$$

การคำนวณปริมาณความร้อนสำหรับระยะเวลาความชื้นที่มีอยู่ในผลิตภัณฑ์

หากหัวข้อที่แล้วได้ทราบถึงค่าปริมาณความชื้นที่มีอยู่ในผลิตภัณฑ์ซึ่งบวกด้วยค่าร้อยละหรือเปอร์เซ็นต์แล้ว โดยจะต้องทราบทั้งปริมาณความชื้นก่อนอบแห้งและหลังอบแห้งเพื่อนำมาหา

ว่าจะต้องระเหยน้ำระหว่างการอบแห้งเป็นปริมาณเท่าใด ปริมาณความร้อนสำหรับระเหยความชื้นที่มีอยู่ในผลิตภัณฑ์สามารถหาได้ด้วยสมการดังต่อไปนี้

$$\begin{aligned} Q_{EVAP} &= m_{MOISTURE} \times h_{fg} \\ &= (6.834 - 0.06) \times 2321.4 \\ &= 15,725.16 \text{ kJ} \end{aligned}$$

การคำนวณปริมาณความร้อนที่ทำให้สลดต่างๆภายในอุปกรณ์อบแห้งที่อุณหภูมิสูง

ความร้อนในส่วนอินอกเหนือจากผลิตภัณฑ์ที่ต้องการทำให้อุณหภูมิสูงขึ้น เช่น รถเข็น ถาดสำหรับบรรจุผลิตภัณฑ์ สลดตุ่นที่ทำให้อุปกรณ์อบแห้ง โดยสามารถหาปริมาณความร้อนในส่วนนี้ได้จากการ

$$\text{ค่า } C_p \text{ ของเหล็ก} = 0.444 \frac{\text{kJ}}{\text{kg} \cdot \text{k}}$$

ดังนั้น

$$\begin{aligned} Q_{OTHER} &= m_{OTHER} \times C_p \times (T_{DRYING} - T_{AMB}) \\ &= 2.5 \times 0.444 \times (398.15 - 298.15) \\ &= 111 \text{ kJ} \end{aligned}$$

—

การคำนวณความร้อนที่สูญเสียให้กับบรรยากาศโดยรอบ

เมื่ออุปกรณ์อบแห้งผ่านการทำงานมาระยะหนึ่ง พื้นผิวนอกก็มีอุณหภูมิสูงขึ้น แต่จะสูงขึ้นเท่าใด จะเท่ากับหรือใกล้เคียงอุณหภูมิที่ใช้ในการอบแห้งหรือไม่ ก็ขึ้นอยู่กับการหุ้มดูดูของอุปกรณ์อบแห้งว่าใช้ชนิดที่เหมาะสมกับการใช้งานหรือไม่ มีประสิทธิภาพอย่างไร

ซึ่งหากเราทราบว่าพื้นผิวของอุปกรณ์อบแห้งมีอุณหภูมิสูงขึ้นสิ่งที่ตามมาก็คือ จะเกิดความร้อนสูญเสียให้กับบรรยากาศโดยรอบ ด้วยกระบวนการถ่ายโอนความร้อนในสองรูปแบบคือ การพาความร้อน และการแผ่รังสีความร้อน แต่ย่างไรก็ตามการคำนวณค่าการสูญเสียของความร้อนในสองรูปแบบนี้จะมีความแตกต่างกันในการคำนวณขึ้นอยู่กับรูปลักษณะของอุปกรณ์อบแห้งเป็นลำดับ ในที่จึงขอใช้ตัวเลขประมาณดังต่อไปนี้

$$\begin{aligned} Q_{LOSS} &= 0.2 \times (1,692 + 15,725.16 + 111) \\ &= 3,506 \text{ kJ} \end{aligned}$$

### การคำนวณปริมาณความร้อนรวม

ปริมาณความร้อนทั้งหมดที่จำเป็นต้องใช้ในการอบแห้งจะมาจากการปริมาณความร้อนที่ได้พิจารณาแยกเป็นส่วนๆ ดังกล่าวข้างต้นซึ่งสามารถจะเขียนเป็นสมการสำหรับหาปริมาณความร้อนรวมได้ดังนี้

$$\begin{aligned} Q_{TOTAL} &= Q_{PRODUCT} + Q_{EVAP} + Q_{OTHER} + Q_{LOSS} \\ &= 1,692 + 15,725.16 + 111 + 3,506 \\ &= 5840 \text{ Watt} \end{aligned}$$

### การคำนวณปริมาณลมร้อนสำหรับอบแห้ง

ปริมาณลมร้อนที่ใช้สำหรับอบแห้งผลิตภัณฑ์สามารถที่จะพิจารณาได้จากแนวคิดที่ว่า ปริมาณความร้อนรวมที่ใช้ในการอบจะต้องได้รับจากลมร้อนเท่านั้นทำให้สามารถเขียนสมการสำหรับหาปริมาณลมร้อนที่ใช้ในการอบได้จาก

$$\begin{aligned} Q_{TOTAL} &= m_{AIR} \times C_p \times (T_{DRYING} - T_{AMB}) \\ 21,034.16 &= m_{AIR} \times 1.0089 \times (398.15 - 298.15) \\ m_{AIR} &= \frac{21,034.16}{1.0089 \times 100} \\ &= 208.5 \text{ kg} \end{aligned}$$

=

### การคำนวณการเลือกขนาด Fan สำหรับการระบาย

$$C_p \text{ ที่ } T = (125^\circ\text{C} + 25^\circ\text{C})/2 = 348.15 \text{ K}$$

$$C_p = 1.0089 \frac{\text{kJ}}{\text{kg} \cdot \text{K}}$$

$$\rho = 1.0048 \frac{\text{kg}}{\text{m}^3}$$

$\nu_{air}$  = ปริมาณความร้อนของอากาศ

$$\begin{aligned} &= \frac{1}{\rho} \\ &= \frac{1}{1.0046} \\ &= 0.995 \frac{\text{m}^3}{\text{kg}} \end{aligned}$$

$$Q_{EVAP} = Q_{air} = m \cdot C_{pair} \Delta T$$

$$m^{\circ} = \frac{Q_{air}}{C_{pair} \Delta T}$$

$$= \frac{15,725.16}{1.0089 \times (125 - 25)}$$

$$= 155.86 \text{ kJ}$$

$$V^{\circ} = m^{\circ} v_{air} = 155.81 \times 0.995$$

$$= 155.08 \frac{m^3}{kg}$$

เปลี่ยนหน่วยของค่า  $V^{\circ}$  (อัตราการไหลของอากาศ) จาก  $\frac{m^3}{kg}$  เป็น  $cfm$  โดยมีค่าเท่ากับ 0.588 $cfm$  แทนค่าในสมการจะได้

$$V^{\circ} = 155.08 \times 0.588$$

$$= 91.187 cfm$$

เมื่อ

$v_{air}$  = Specific volume of air

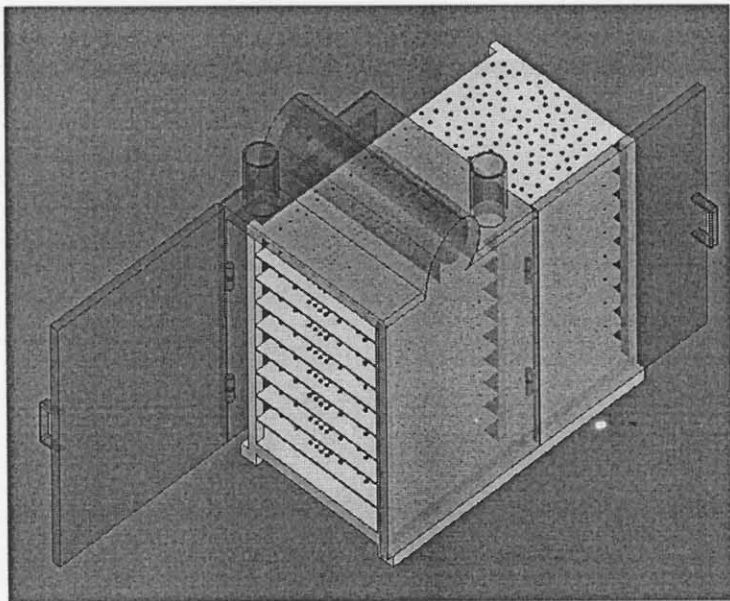
$V^{\circ}$  = Volume flow rate of air

==

#### 4.2.2 แบบระบบการอบเมืองตัน

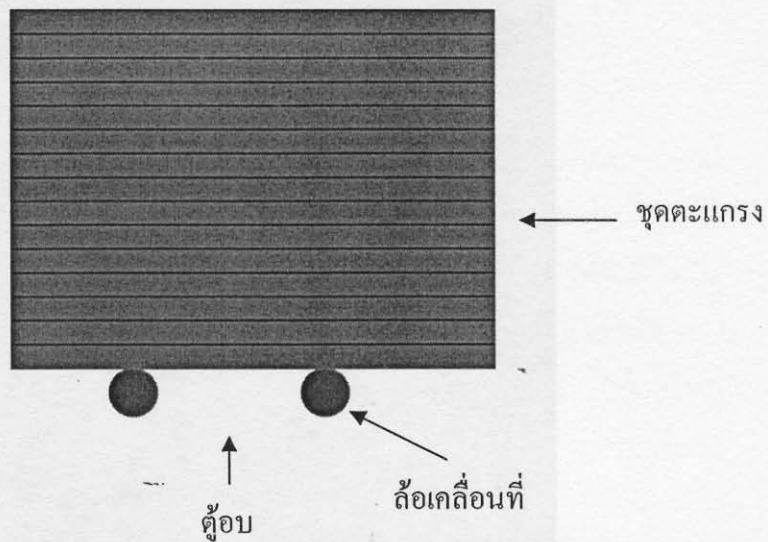
เนื่องจากผลิตภัณฑ์ส่วนใหญ่เป็นมากแห้งเก็บทั้งหมด และในปัจจุบันใช้วิธีการตากแดดซึ่งไม่เพียงพอต่อความต้องการของท้องตลาด หากเหตุผลดังกล่าวจึงมีแนวคิดในการออกแบบเครื่องอบแห้งมาก เพื่อเพิ่มกำลังการผลิตและลดเวลาในการทำให้มากแห้ง

โดยมีหลักการทำงานดังต่อไปนี้ คือ ตู้มีลักษณะเป็นสี่เหลี่ยมที่สามารถเลื่อนเปิดปิดริเวณด้านข้างได้ โดยด้านหนึ่งจะเป็นตู้อบ และอีกด้านจะเป็นที่พักของเนื้อหากที่ผ่านการหั่นแล้ว สำหรับรองในระหว่างการอบของอีกด้าน ซึ่งในตู้อบจะมีลักษณะเป็นชั้นๆ และมีรูเพื่อช่วยในการกระจายความร้อน ดังรูปที่ 4.18

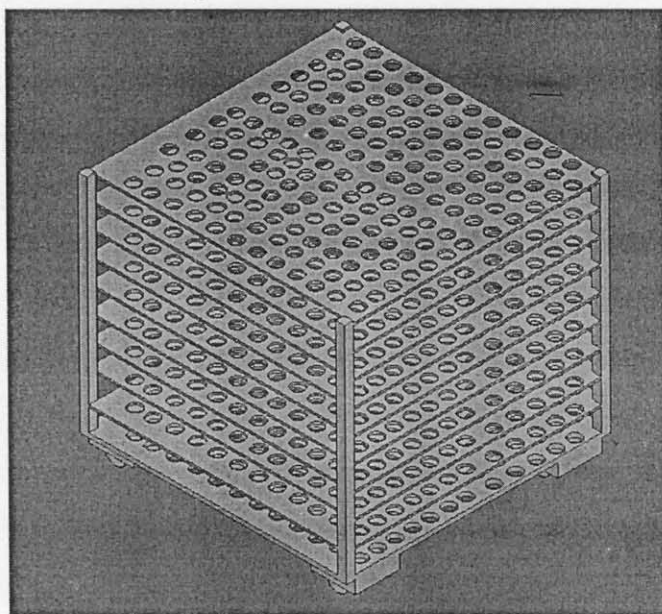


รูปที่ 4.18 เครื่องอบแห้งมาก

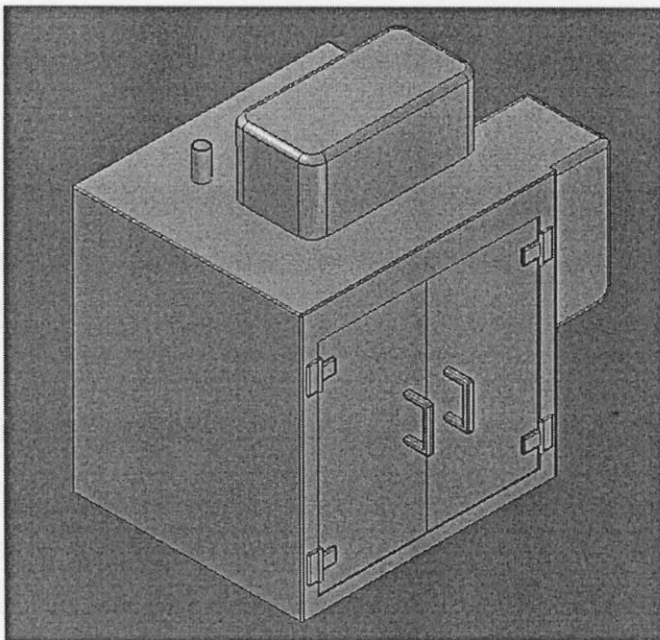
จากแนวคิดข้างต้น พบว่าดูตอนมีการถ่ายเทความร้อนสูง เพราะมีการเคลื่อนที่ของอีทเตอร์และต้องมีจำนวนป้องกันความร้อนออกจากดูตอน ดังนั้นจึงได้มีการออกแบบดูตอนใหม่ มีลักษณะดังต่อไปนี้ คือ จะมีคาดลักษณะเป็นตะแกรง โดยชุดตะแกรงจะแบ่งเป็น 2 ชุด ชุดแรกจะนำเนื้อหมากที่ผ่านการหั่นเข้าดูตอน และชุดที่ 2 ไว้เตรียมเนื้อหมากที่ผ่านการหั่นแล้ว เพื่อรอเปลี่ยนกับชุดที่ 1 โดยชุดตะแกรงจะมีล้อติดด้านล่าง เพื่อสะดวกในการเคลื่อนย้าย ดังรูปที่ 4.19 จากแนวคิดในการออกแบบเครื่องอบแห้งมาก สามารถนำมาออกแบบจำลองเครื่องอบแห้งมากได้ดังรูปที่ 4.20 และ 4.21



รูปที่ 4.19 ลักษณะของตู้อบแห้ง宏大



รูปที่ 4.20 ชุดตะแกรงเครื่องอบ宏大



รูปที่ 4.21 แบบจำลองคุ้มแห้งมาก

จากลักษณะการออกแบบดังกล่าว ยังไม่ได้มีการดำเนินการสร้างจริง เป็นเพียงแนวคิดเริ่มต้น ซึ่งระบบการอบหมายแก่นจะมีการนำข้อมูลที่ได้จากการทำวิจัยในครั้งนี้ไปดำเนินการต่อสำหรับงานวิจัยต่อไป